

พฤติกรรมทางด้านแรงดันน้ำและการเคลื่อนตัวของเขื่อนดิน
PORE PRESSURE AND MOVEMENT BEHAVIORS OF EARTH DAMS

พนารัตน์ จำรงษ่อง¹, ดร.วรกร ไม้เรียง²

¹ อารยธรรม

คณะวิศวกรรมศาสตร์ มหาวิทยาลัยรามคำแหง กรุงเทพฯ

² รองศาสตราจารย์

คณะวิศวกรรมศาสตร์ มหาวิทยาลัยเกษตรศาสตร์ กรุงเทพฯ

บทคัดย่อ: การประเมินพฤติกรรมเขื่อนจากเครื่องมือตรวจ เป็นส่วนสำคัญที่จำเป็นต้องกระทำเพื่อความปลอดภัยและประหยัดในการก่อสร้างและใช้งานเขื่อน บทความนี้ได้เสนอผลของการตรวจสอบและวิเคราะห์พฤติกรรมของเขื่อนในสถานจานวน 3 เขื่อน โดยการวิเคราะห์พฤติกรรมความดันน้ำใช้ทฤษฎี Pore Pressure Development และ Flow through Porous Media และให้ผลที่สมพันธ์กับพฤติกรรมการเคลื่อนตัวซึ่งวิเคราะห์โดยใช้ทฤษฎี Consolidation และความยืดหยุ่นของดิน ผลที่ได้นำไปวิเคราะห์ความมั่นคงของเขื่อนโดยอาศัยวิธี Limit Equilibrium เพื่อประเมินความปลอดภัยโดยหาอัตราส่วนความดันน้ำเฉลี่ย(R_u)จากอัตราส่วนความดันน้ำที่แนวการเคลื่อนที่ พบร่วมกับ R_u อุปสรรคระหว่าง 0.2-0.5 และตัวเขื่อนใช้เวลาปรับการไหลเข้าสู่การไหลแบบปกติไม่น้อยกว่า 2-3 ปี การกัดเซาะจากการไหลซึ่งของน้ำผ่านดินเขื่อนและฐานรากของเขื่อนจากการเปลี่ยนแปลงของ hydraulic gradient, i_c Seepage Velocity, v_c และ Hydraulic Fracturing การเคลื่อนตัวแนวราบซึ่งมีอิทธิพลจากกลไก mechanics ทางธรณีวิทยาของไหลเข้าและจากการเก็บน้ำพบว่าเกิดขึ้นน้อยมากเมื่อเทียบกับการทรุดตัว ผลกระทบเบริชของพฤติกรรมที่เกิดขึ้นกับท่ออุบങค์ไว้ และเบริชที่บันกันเขื่อนประเภทเดียวกันจะเป็นประโยชน์ในการพัฒนาการออกแบบและการก่อสร้างในอนาคตให้ปลอดภัยและประหยัดยิ่ง

ABSTRACT: Dam behaviors from measuring devices are major factors for safety and economics in dam construction and operation. This paper present in situ monitoring data and behavior of 3 earth dam. The theories of pore pressure development and flow through porous media are used for analysis. Pore pressure behaviors related to movement behaviors by consolidation and elastic movement theory. The stability analysis of dam requires average pore pressure ratio on failure plane. Observed pore pressure ratio (R_u) was between 0.2-0.5 and not less than 2-3 years for adjusting to steady state flow. The erosion could be checked by Hydraulic Gradient (i_c), Seepage Velocity (v_c) and Hydraulic Fracturing. Horizontal movements influent by topographical condition and reservoir impounding are small comparing to settlement. Comparison between the field data and the prediction of homogeneous dams is useful for designed development and construction in the future.

KEYWORDS: Behaviors, Instrument, Earth Dam

For further details, contact Panarat Khamwongkhong, Faculty of Engineering Ramkhamhaeng University, Huamark, Bangkok 10240

1. บทนำ

เพื่อเป็นไปตามที่กฤษฎีกิริยา 4750 ที่อน [1] โดยส่วนใหญ่เป็นเชื่อเดิน สามารถประยุกต์ใช้ได้ ขึ้นได้จากการคือมีอัตรา ซึ่งจะถูกติดตั้งในจุดวิกฤตและจุดที่ต้องการทราบค่าตามวัดอุปกรณ์ต่างๆ ที่อุปกรณ์แบบ การออกแบบ การก่อสร้าง การตรวจสอบ การใช้งานในระบบทาม ด้านกฎหมาย การวิจัย ความปลอดภัยและประหัดในการก่อสร้างหรือใช้งาน เชื่อเดิน น้ำท่วม น้ำท่วมที่ได้ก่อตัวของผลกระทบของการตรวจสอบและวิเคราะห์ที่พุกิริยาของข้อมูล ในส่วนที่บันทึก 3 เพื่อนำไปใช้ เชื่อเดิน น้ำท่วม น้ำท่วมที่เกิดขึ้นที่สถานที่ท่องเที่ยวและบริษัทที่เกี่ยวกับผลการศึกษาในต่างประเทศ เชื่อเดินมั่วเพื่อเปรียบเทียบกับพุกิริยาที่เกิดขึ้นจริงในสถานที่ท่องเที่ยวและบริษัทที่เกี่ยวกับผลการศึกษาในต่างประเทศ

เชื่อเดิน จ. นครราชสีมา เป็นเชื่อเดินน้ำท่วม ชั้น 33 ม. ยาว 880 ม. เพื่อเดินสร้างเสร็จ มกราคม 2532 ในช่วง ตุลาคม 2533 มีฝนตกหนักจากพายุที่ญี่ปุ่น ทำให้เกิดการรั่วซึ่น 2 แห่ง โดยที่ 1 ใกล้กับผู้เดิน ฐานรากซึ่งประกอบด้วยทรายและก้อนกรวดอยู่ในชั้นเดินหนา 6 นิ้ว การใช้ Slurry Wall ปิดกั้นการไหลซึ่งในเชื่อเดินที่ทำการซ้อม แม่น และติดตั้งเครื่องมือตรวจความดันน้ำและการไหลซึ่งประกอบด้วย Hydraulic Piezometer 42 หัว Observation Well 8 บ่อ Seepage Flowmeter 7 หัว เครื่องมือวัดการเคลื่อนตัวประกอบด้วย Inclinometer พร้อม Settlement Gage 4 จุด Surface Monument 36 หัว ตัวซึ่งเชื่อมบดดักทางด้านหน้าหัวดิน CL เป็นส่วนใหญ่ซึ่งมีสภาพเป็นพลาสติก

เพื่อเดินของปลาไหล ระยะห่างเป็นเชื่อเดินเดียว ชั้น 24 ม. ยาว 4060 ม. ติดตั้งเครื่องมือวัดความดันน้ำและการไหลซึ่ง ประกอบด้วย Hydraulic Piezometer 78 หัว Observation Well 6 บ่อ Seepage Flowmeter 3 จุด เครื่องมือวัดการเคลื่อนตัว Inclinometer พร้อม Settlement Gage 8 จุด Extensometer 17 หัว Surface Monument 19 จุด ตัวซึ่งเชื่อมประกอบด้วยดิน CL เป็นส่วนใหญ่

เชื่อเดินแห้ง จ. เชียงใหม่ เป็นเชื่อเดินตามแบบตัว (Zoned Dam) ชั้น 59 ม. ยาว 1950 ม. ทิ่นฐานรากเป็นแคนดิไซฟ์และ ขอร์โคว์ร์ต ได้มีการติดตั้งเครื่องมือวัดความดันน้ำ Electrical Strain Gage Piezometer 18 หัว Observation Well 12 บ่อ เครื่องมือวัด การเคลื่อนตัว U.S.B.R. Crossarm 4 จุด Inclinometer 4 จุด ในการปูรูบดีดินตามตัวซึ่งเชื่อมล่างแกนและส่วนปลอกนอกด้านข้าง เมื่อเดิน ก็จะเป็นกุ่ม CL และ ML เป็นส่วนใหญ่

2. พุกิริยาโดยทั่วไปของเชื่อเดิน

พุกิริยาระยะห่าง เป็นเชื่อเดินดินแบบแบ่งตัว (Zoned Dam) ชั้น 59 ม. ยาว 1950 ม. ทิ่นฐานรากเป็นแคนดิไซฟ์และ ขอร์โคว์ร์ต ได้มีการติดตั้งเครื่องมือวัดความดันน้ำ Electrical Strain Gage Piezometer 18 หัว Observation Well 12 บ่อ เครื่องมือวัด การเคลื่อนตัว U.S.B.R. Crossarm 4 จุด Inclinometer 4 จุด ในการปูรูบดีดินตามตัวซึ่งเชื่อมล่างแกนและส่วนปลอกนอกด้านข้าง เมื่อเดิน ก็จะเป็นกุ่ม CL และ ML เป็นส่วนใหญ่

- แรงดันดิน (earth pressure) มี 2 ลักษณะคือ แรงดันสถิติก (geostatic stress) และแรงดันดินอันเกิดจากน้ำหนักหรือแรงกระแทก (induced stress)
- ความดันน้ำและการไหลซึ่งในตัวซึ่งเชื่อมและฐานราก แบ่งเป็น 3 ระยะคือ ระหว่างการก่อสร้าง ระหว่างเริ่มก่อตัว และระหว่างกึ่งก่อตัว
- การเคลื่อนตัวและการทรุดตัวของเชื่อเดิน 3 ทิศทางคือ การเคลื่อนตัวในแนวตั้ง การเคลื่อนตัวในแนวเหนือหน้าท้าทัน្ហี และการเคลื่อนตัวในแนวแกนเชื่อเดิน

2.1 ความดันน้ำในตัวซึ่งเชื่อมและฐานรากระหว่างการก่อสร้าง

ความดันน้ำเกิดจากอิทธิพลของระดับน้ำใต้ดิน ระดับน้ำในอ่าง น้ำหนักดินทับของตัวซึ่งเชื่อม หลังงานในการกดดัก ความตื้นของน้ำหรือเพลิดินไว้ท่ามกลางน้ำซึ่งน้ำและลักษณะทางธรณีของเชื่อเดินและฐานราก [2] บ. [3] กล่าวว่ามีขนาดขั้นต่ำอยู่ที่ 3 ปีบัญชี คือ คุณลักษณะทางพิสิตร์ของมวลดิน เช่น compressibility permeability และปริมาตรของอากาศหรือน้ำในช่องของมวลดิน เป็นต้น ระยะเวลาที่ใช้ก่อสร้าง (construction rate) และระบบระบายน้ำ (drainage) ที่ออกแบบไว้ในเชื่อเดิน ทำให้ความดันน้ำมี

ผลต่อตัววัสดุที่อ่อนและฐานรากใน 4 ลักษณะคือ [2] ความมั่นคงของลักษณะข้อต่อและฐานราก(stability) การทรุดตัว(settlement) การกัดเซาะ(gully erosion) และการรั่วซึมของน้ำที่เกินกักอกรากตัวขึ้น(see page)

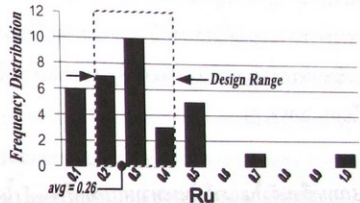
ความดันน้ำที่เกิดจากการบดดักก่อสร้างที่ก่อตัวขึ้นอยู่บนหนองปลาไหล เมนจ์ พบว่าความดันน้ำนี้คือสูงจากการบดดักและเกิดขึ้นสูงสุดเมื่อเสร็จสิ้นการก่อสร้างที่ก่อต่องานฐานสูงขึ้นและมีการตระดับลงจากกระจาดความดันออกไปยังบริเวณใกล้เคียงที่ต่ำกว่าภายหลังจากเสร็จสิ้นการก่อสร้าง และตรวจสอบว่าความดันน้ำในฐานรากลดระดับลงจากหน้าเนื้อไปปั้งหักยน้ำการระบายน้ำดันน้ำเพิ่มว่ามีการระบายน้ำความดันน้ำก่อตัวขึ้นและฐานรากที่ไปปั้งหักยน้ำ

การศึกษาอัตราส่วนความดันน้ำ(Pore Pressure Ratio, Ru) ซึ่งมีประวัติในการใช้ควบคุมอัตราการก่อสร้างในสถานที่ Skempton เป็นคนแรกที่ได้ถ่วง Pore Pressure Parameters และนำมาใช้งาน โดยอัตราส่วนความดันน้ำคือสัดส่วนระหว่างความดันน้ำที่เกิดขึ้นในมวลคิน(Δu) ต่อหน่วยแรงกดที่เพิ่มขึ้น(major principal stress, $\Delta \sigma_y$) เพื่อให้ใช้งานได้ทัน Bishopt [4] เป็นรูปแบบการเป็น

Type of material	Pore pressure ratio, Ru					
	0	0.2	0.4	0.6	0.8	1.0
CL Mun Bon Dam	Rang=0.13-1.00					avg Ru=0.28
CL-ML Mae Gnad Dam	0.07-0.31					
CL Nong Pla Lai Dam	0.0-0.6					
Design [2]	0.2-0.4					

รูปที่ 1 อัตราส่วนความดัน Ru จากการบดดักก่อสร้างตัวขึ้น

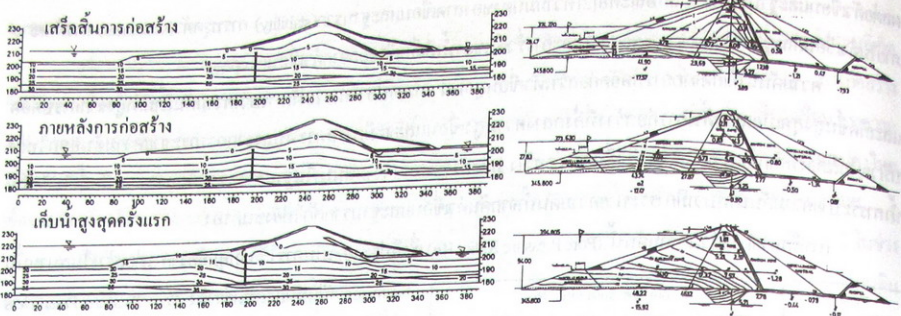
เมื่อนำความดันน้ำก่อตัวขึ้นมาเป็นอัตรา Ru ในระหว่างการก่อสร้างพบว่ามีค่าตั้งแต่ 0.07-1 ตามแสดงในรูปที่ 1 และมีค่าสูงสุดบริเวณกึ่งกลางตัวขึ้น มีค่าน้อยบริเวณไกด์ Filter คิวเท่านั้น และฐานรากที่ระบายน้ำดันน้ำก่อตัวขึ้นได้ จากรูปเห็นว่าค่า Ru ของทั้งสามตัวขึ้นมาเชื่อมโยงกันเมื่อนำมาพิจารณาความถี่ของค่า Ru ที่เกิดในครึ่งบนทั้งสามตัวขึ้นมาจะพบว่าค่า Ru ที่เกิดขึ้นต้นใหญ่ๆ ภายในช่วงของค่า Ru ที่ต่ำกว่า 0.2-0.4 [2] การวิเคราะห์ความมั่นคงขึ้นกับในช่วงนี้เพื่อตรวจสอบว่าค่า Ru ในกรณี Total Strength และ Effective Strength ได้ค่า Ru เฉลี่ยตามแนวการเดินที่มีค่าเท่ากับ 0.26 และได้ค่า F.S. ที่เกิดขึ้นเมื่อเสร็จสิ้นการก่อสร้างเท่ากับ 1.17 ต่ำกว่า F.S. ที่ออกแบบไว้ซึ่งเท่ากับ 1.31 และค่า F.S. จะมีค่าสูงขึ้นตามลำดับภายหลังการก่อสร้าง จากการที่ความดันน้ำส่วนกินระบายน้ำออกไป



รูปที่ 2 ความถี่ของค่า Ru ที่ดัดได้ในช่วงนี้

2.2 ความดันน้ำและปริมาณน้ำที่กันน้ำขึ้นในระหว่างกันกันน้ำ

การศึกษาเต้นระดับความดันน้ำที่เท่ากัน (Pore Pressure Contours) พบว่าเต้นระดับความดันน้ำบริเวณหน้าขึ้นได้รับอิทธิพลส่วนใหญ่จากดับน้ำในต่าง บริเวณตัวขึ้นเองจะได้รับอิทธิพลจากการบดดักตัวขึ้นและลดลงมาใกล้กึ่งกัน ระดับน้ำได้คืนทางด้านที่กันน้ำและอิทธิพลจากการบดดักตัวขึ้นลดลงทางการก่อสร้าง ลักษณะการเกิดความดันน้ำในช่วงเวลาต่างๆ ในช่วงนี้ ที่กันน้ำขึ้นและอิทธิพลจากการบดดักตัวขึ้นลดลงมาใกล้กึ่งกันน้ำ น้ำที่กันน้ำที่ตรวจดูได้พบการก่อสร้างโดย Cassagrande [5] แสดงถึงการไหลของน้ำในช่วงนี้มีการปรับเปลี่ยนไปสู่การไหลแบบคงที่ของความดันน้ำในตัวขึ้นและใช้วิธี



ก) เขื่อนมูลบุน

ข) เขื่อนแม่วัง [9]

รูปที่ 3 เส้นระดับความดันน้ำที่เท่ากันในตัวเขื่อนที่เวลาต่างๆ

ไม่น้อยกว่า 2-3 ปี การกัดเซาะจากภัยธรรมชาติของน้ำที่ก่อตัวขึ้นและฐานราชครวษณาจาก Hydraulic Gradient (i_h) พบร่วมกับค่าลดลงตามลำดับจากหนึ่งอีกไปหาน้ำและลดลงมากเมื่อ ไฟล์ผ่านชั้นกรอง สำหรับในเขื่อนมูลบุนที่เขียนกับการวิเคราะห์ของวราวนิ [6] แล้ว ความถาวรสบค่าน้ำมีค่าอย่างต่ำที่ค่าไม้กาง น้ำไฟล์จากห่อรับน้ำจากชั้นกรองวัดได้เป็นสูงสุด 1.44 ลบ. ม./วัน คิดเป็น 0.09–0.22% ของเกณฑ์ความปลดออกซ์ที่วิเคราะห์ไว้ เมื่อเทียบกับปริมาณน้ำในอ่างน้ำ เปอร์เซนต์การรั่วซึมเท่ากับ 0.000001% น้อยกว่าที่ยอมให้ใช้สำหรับ ไฟรือ 0.01–0.05% [2]

2.3 การเคลื่อนตัวในแนวตั้งในระหว่างการก่อสร้าง

การเคลื่อนตัวของดินตัวเขื่อนมีอิทธิพลจาก อัตราและปริมาณแรงที่บดอัด และความสามารถในการระบายน้ำออกจากมวลดิน Wilson [8] ก่อตัวการเคลื่อนตัวในขั้นเดินกิจกรรมเหตุที่ดังนี้ คือ ความดีดหุ่นของมวลดิน(elastic deformation) กระบวนการ consolidation การถ่านหันหันกระหะง ใจดีต่างๆ ในเขื่อนดิน ความแตกต่างของลักษณะภูมิประเทศการริบบ์เก้นกันน้ำ และจาก Creep เดือนการศึกษาที่เข้าตรวจสอบในพบรากการเคลื่อนตัวนี้ของจาก Creep

การเคลื่อนตัวในแนวตั้งในระหว่างการก่อสร้าง เมื่อพิจารณาเปอร์เซนต์การบุบอัดตัวที่ก่อตัวที่ก่อความดันดินของดินบนอัตรา 100 psi ดังรูปที่ 4 เมริบันที่เขียนกับของ Gould [8] ซึ่งศึกษาปอร์เซนต์การบุบอัดตัวเมล็ดที่ตัวจากเขื่อนดินขนาดใหญ่มากกว่า 20 เขื่อน ที่ก่อสร้างในประเทศไทยและอเมริกา ในเขื่อนแม่วังใช้แบบ CL-MH มีการบุบอัดตัว 2.3-5.9 % มีช่วงกว้างกว่าเล็กน้อยเมื่อเทียบกับดินประเภทใกล้เคียง CL-ML ซึ่งมีค่าอยู่ระหว่าง 2.8-4.2 % สำหรับในเขื่อนมูลบุนซึ่งสูง 30 เมตร น้ำหนักกดทับที่ตัวแห่งเพียงครึ่งปีประมาณ 80 psi โดยพิจารณาที่ระดับฐานราชประกอบด้วยดิน SM และ SM แทรกอยู่ในชั้น CL และ ML ปรากฏว่า การบุบอัดตัวที่ตัวที่ในช่วง 0.6-3.3 % ลดลงด้วยกับผลการศึกษาของ Gould [8] ในดินประเภท SM-ML เทื่อน Muddy Run และ CL-ML

Type of material	Compression @ 100 psi (%)
GM-SM-GP	0 1 2 3 4 5 6 7 0.9-1.4
SM-ML Muddy Run Mammoth Pool	1 2 3 4 5 6 7 1.3-2.1
SC-GC	1 2 3 4 5 6 7 1.9-3.3
CL-ML Netzahualcoyotl	1 2 3 4 5 6 7 2.8-4.2
CH Akosombo Infiernillo	1 2 3 4 5 6 7 1.9
Rockfill Akosombo Infiernillo Netzahualcoyotl Muddy Run	1 2 3 4 5 6 7 1.9
CL-MH Mae Grad [9] C1 C2 C4	1 2 3 4 5 6 7 2.8-5.7 2.4-5.9 2.3-5.9
CL-ML-SP-SM Mun Bon INS-2 INS-3 INS-4	1 2 3 4 5 6 7 (@ 80 psi) 0.6-3.3

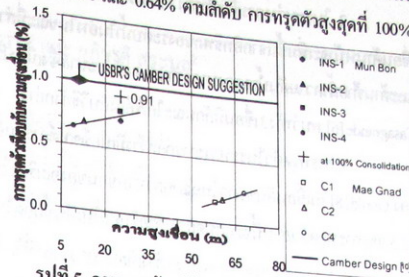
รูปที่ 4 การบุบอัดตัวที่หันน้ำความดันดินลม 100 psi

เทียบกับผลของ Gould [8]

2.4 การเคลื่อนตัวในแนวตั้งภายหลังการก่อสร้าง

ในช่วงนี้มีความและข้อเสนอแนะเพิ่มพูนว่าภายหลังก่อสร้างประมาณ 3 ปี และ 2 ปี ตามลำดับกระบวนการการอัดตัวคากันน้ำค้าใน “ไป” ที่มากกว่า 82.56% และ 90% แล้ว การทรุดตัวสูงสุดที่ยกบันความสูงขึ้นที่ตัวจริงด้วยปริมาณที่ยกบันการอุดแบบ Camber ซึ่ง USBR [10] กำหนดไว้ที่กัน 1% ของความสูงขึ้น ลักษณะที่ 5 จะเห็นว่ามีค่ากันอย่างต่ำของการออกแบบ โดยในช่วงนี้มีความที่ยกบัน เครื่องมือ INS-1, INS2, INS3 และ INS4 ตรวจวัดได้ 0.72%, 0.69%, 0.79% และ 0.64% ตามลำดับ การทรุดตัวสูงสุดที่ 100% Consolidation มีค่า 0.91% ในช่วงนี้แม้พัฒนาการทรุดตัวสูงสุดที่ C1, C2 และ C4 เกิดขึ้น 0.16%, 0.19% และ 0.25% ตามลำดับ

การทรุดตัวที่เกิดขึ้นมากภายหลังการก่อสร้างนั้น เป็นผลจากความสูงขึ้นและชนิดของดินคือดิน ดังจะเห็นจาก รูปที่ 5 ว่าในช่วงนี้เดียวกัน INS-1 และ INS-3 คิดตัวที่ความสูง เพื่อให้กัน มีอัตราเร็วของการทรุดตัวที่ยกบันความสูงขึ้น ไกส์คิงกัน และเมียนมาโน้มสูงขึ้นเมื่อความสูงขึ้นมากขึ้น

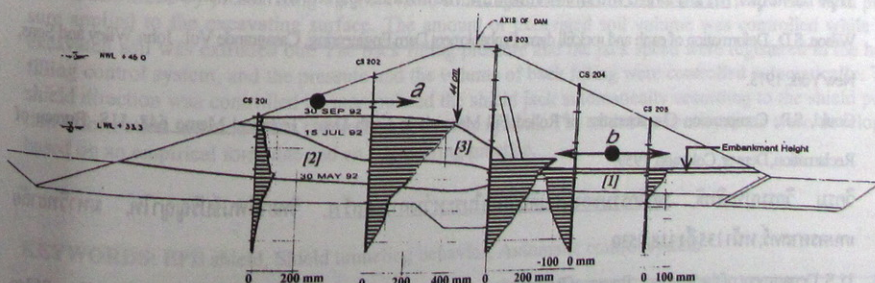


รูปที่ 5 การทรุดตัวเปรียบเทียบกับความสูงขึ้นที่

เพื่อไว้สำหรับการทรุดตัวภายหลังการก่อสร้าง

2.5 การเคลื่อนตัวแนวราบของตัวเขื่อน

การตรวจวัดการเคลื่อนตัวแนวราบมีวัตถุประสงค์เพื่อตรวจสอบความมั่นคงของลาดผืนน้ำ จากการศึกษา ทั้ง 3 เขื่อนไม่พบความผิดปกติแต่อย่างใด ในระหว่างก่อสร้างลำดับขั้นตอนการบดเมล็ดต่อการเคลื่อนตัวแนวราบ ของดินตัวเขื่อน ดังตัวอย่างรูปที่ 6 โดยอุปกรณ์แสดงทิศทางการบดอัดดินที่บดอัดเพิ่มน้ำเรียงลำดับจาก 1, 2 และ 3 การบดอัดดินดินหมายเลข 3 ในลักษณะ a มีทิศทางการบดอัดเดินเลี้ยวซ้ายไปขวาเป็นผลให้เกิดการเคลื่อนตัวไปทับหน้า เครื่องมือ CS202 และ CS203 วัดได้สูงสุดที่ระดับผิวน้ำมากถึง 44 ซม. และ 35 ซม. ตามลำดับ ลักษณะ การบดอัดดินดินที่ 1 จะบดอัดจากบริเวณที่ก่อกลางไปซ้ายและขวาในลักษณะ b ทำให้เกิดการเคลื่อนตัวของ CS204 และ CS205 ไปตามทิศทางการบดอัดดังกล่าว ในระหว่างที่บดน้ำได้ห่วงใหญ่อุปกรณ์ที่เคลื่อนตัวไปทับหน้าทับหน้า การเคลื่อนตัวของหินที่ผูกขึ้นทำให้เกิดการเคลื่อนตัวสูงสุดบริเวณต่ำบนของหัวอัดดินด้วยการเคลื่อนตัว เด็กการเคลื่อนตัวของดินภายในหัวเขื่อนขณะที่ก่อขึ้นน้ำมีการเคลื่อนตัวไปทับหน้าเพียงเล็กน้อยไม่ถึง 1 ซม. อาจเป็นเพราะเพื่อสนับสนุนความสูงปานกลาง 32.7 ม. เมื่อเทียบกับการเคลื่อนตัวจากการก่อตัวของ Wilson [7] ในเขื่อน El Infiernillo Dam ความสูงประมาณ 125 ม. มีการเคลื่อนตัวนี้ของหัวก่อเป็นน้ำภายหลังการก่อสร้าง 4 ปี ไปยังทับหน้าสูงสุดมากถึง 45 ซม.



รูปที่ 6 แสดงการเคลื่อนตัวเนื่องจากการบดอัดดินก่อสร้างตัวเขื่อนหนาสองปลาไธล

3. สูญ

1. ในระหว่างการก่อสร้างความดันน้ำในตัวที่อยู่มีค่าสูงขึ้นจากการบดอัดและสูงสุดเมื่อการก่อสร้างใกล้แล้วเสร็จซึ่งเกิดขึ้นบริเวณกึ่งกลางตัวที่่อน โดยมีอัตราส่วนความดันน้ำ Ru เฉลี่ย 0.26 ในที่่อนมูลบัน และ 0.07-0.31 ในที่่อนแม่น้ำเมื่อเทียบเทียบกับค่าที่ใช้ในการออกแบบประมาณ 0.2 ถึง 0.4 นับว่าใกล้กันมาก
2. ในระหว่างการก่อสร้างชั้นหินที่ 2-3 ไม่เกิดการปรับตัวของความดันน้ำเข้าสู่สภาพการไหลคลื่นที่โดยความดันน้ำในตัวเพื่อนกันหักจะเพิ่มขึ้นจากอิทธิพลของระดับน้ำในตัวที่ส่วนกลางตัวที่่อนความดันน้ำจากอิทธิพลของการบดอัดคล่องและด้านที่ยกความดันน้ำลดลงมากจากผลของการหักระนาบซึ่งเมื่อเปรียบเทียบระหว่างเดินทางน้ำที่สำรวจน้ำกับการก่อสร้างโดยวิธี Casagrande [6] พนบ.ที่ 3 เทื่อนมีลักษณะใกล้เคียงกับวิธีจักรวาล
3. การทรุดตัวในระหว่างการก่อสร้างมีปัจจัยต่างๆ ที่ทำให้เกิดการทรุดตัวที่หนาของความดันคิดตาม 100 psi ใกล้เคียงกับการศึกษาของ Gould [8] ในที่่อนดินขนาดใหญ่มากกว่า 20 เที่ยอนของอเมริกา ในที่่อนมูลบันมีค่าอยู่ในช่วง 0.6-3.3% ในที่่อนแม่น้ำจูรี มีค่า 2.3-5.9% การทรุดตัวส่วนนี้จะถูกทดสอบด้วยคิดตามในที่น้ำตื้น ไปจนถึงไม่ปรากฏผลเสียที่เกิดขึ้นในที่่อน
4. การทรุดตัวภายหลังการก่อสร้างที่เกิดขึ้นความสูงที่วัดได้ทั้งหมดคือค่าน้ำอย่างไรก็ตามสูงที่สุดที่เกิดขึ้นในระหว่างการรับน้ำที่ตัวที่ 1 ทำให้ต้องหักหันตัวที่ 1 1% ของความสูงที่่อนและมีแนวโน้มสูงขึ้นตามความสูงที่่อน
5. การเคลื่อนตัวแนวราบพนบ.ที่เกิดขึ้นอย่างมาก ในระหว่างการก่อสร้างพนบ.ที่เกิดขึ้นจะมีผลต่อการเคลื่อนตัวแนวราบทองดินตัวที่่อน ในระหว่างใช้งานพนบ.ที่เก็บกักน้ำมีผลทำให้เกิดการเคลื่อนตัวเนื่องจากการไหลซึมและแรงดันน้ำ

เอกสารอ้างอิง

1. วารสาร ไมร์เริ่ง, รายงานทางวิชาการฉบับที่ 1, งานที่ปรึกษาโครงการฐานดินมูลที่่อนเพื่อประเมินความปลอดภัยและบำรุงรักษาของดินกานหูลประเทศไทยที่คณะกรรมการศาสตร์มหาวิทยาลัยเกษตรศาสตร์, หน้า 1-4, 2540
2. วารสาร ไมร์เริ่ง, คู่มือการดัดแปลงกรรมวิธีดิน, ภาควิชากรรมรรมโภชนาและโครงการชั้นอนุเมตและปรับปรุงที่่อนมูลบัน คณะวิเคราะห์กรรมศาสตร์ มหาวิทยาลัยเกษตรศาสตร์, 230 หน้า, 2538
3. Li, C.Y. Construction pore pressure in an earth dam, JSMFD, ASCE 85(5), p.43-59, 1959.
4. Bishop, A.W., The use of pore pressure coefficients in practice, Geotechnique 4, p.148-152, 1954.
5. Casagrande,A , Seepage through dam . Cited by D.G.Fredlund and H.Rahardjo., Soil Mechanics for Unsaturated Soil, John Wiley & Sons, Inc., 171 to 175, 1937.
6. วรรุติปันทะบุตร, การวิเคราะห์การไหลซึมของที่่อนมูลบัน, วิทยานิพนธ์ปริญญาโท, มหาวิทยาลัยเกษตรศาสตร์, 2538
7. Wilson, S.D., Deformation of earth and rockfill dam, Embankment Dam Engineering, Casagrande Vol., John Wiley and Sons, New York, 1973.
8. Gould, S.P., Compression Characteristics of Rolled Fill Materials in Earth Dam, Technical Memo 648, U.S. Bureau of Reclamation, Denver, Colorado, 1959.
9. วิกรม วิกรมประสีทธิ, พฤติกรรมของที่่อนดินแม่น้ำในระหว่างการก่อสร้าง, วิทยานิพนธ์ปริญญาโท, มหาวิทยาลัยเกษตรศาสตร์, หน้า 135 ถึง 138, 2530
10. U. S. Department of the Interior, Bureau of Reclamation, Design of small Dams, U.S. Government Printing Office, 253 to 255, 1987.